

日本大学生産工学部(工) 西川 葦

一般に、洪水干渉が3~4日高水計画山から、て、洪水が下流域Kのようにつながる場合、不定流の連続式である3~4日運動方程式を解くことにより、(未だ)水をもが、計算に非常な努力を要する。

本研究では、不等流計算によって河道の貯留量と流出量との関係を知り、その関係の3回解法により上流の洪水曲線から下流の、ある地点の洪水曲線を推算し、実測の洪水曲線と比較してみたものである。

対象となる洪水は、延長約3000m、下底約7m、側壁こう配1:1、コンクリート張り台形断面のためが、用水路に次のよう方法で人工洪水を起したものである。実験は次のようにして、実験を終了する前日より取水口、ゲートを開き、水路内の貯留水を出来ただけなくし、水路内水位が最低となるまでとまでゲート操作により洪水形状を作り出さる。操作後、じきじきゲートを開き、水路内の最高水位を生じさせ、その後は逆にじきじきゲートを開いて、最後にゲートを完全に閉じる。

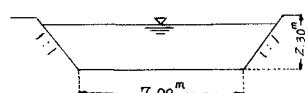
Fig.-1, Fig.-2 参照

洪水流の日別個々、同じ水路における種々の水
面形状に対する流出量と貯
留量と関係を表すもの
のと、下流地点Bにおける
種々の水位を表す ($H = 1.80\text{m}$,
 1.60m , 1.40m ,
 1.00m , 0.60m)、

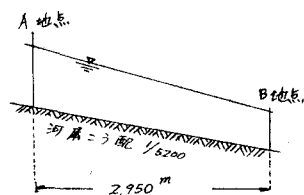
Chow 公式による A ~ B

間の水面形状を表す。なお、B地点における
各水位 H に対する流量 Q は、あらかじめ実
験により Manning 公式より $H - Q$ 曲線と定め
られたが、前記各水位に対する流量 ($A=15.27$
 m^2 , 12.56m^2 , 10.06m^2 , 6.05m^2 , 3.00m^2) を推
定した。このとき、粗度係数 n については、
 $n = 0.017$ を採用した。

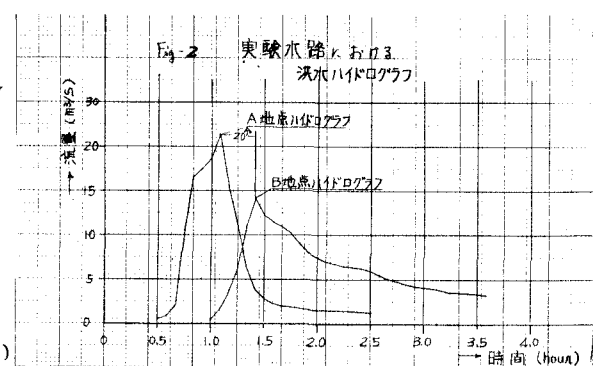
次に各種の水面形状における水路内の横柱体
の体積と貯留量との関係として計算し、また
到達時間以内下流地点Bを流下する全流量(Q)



実験水路横断図



実験水路縦断図



を計算して、各々の直線を打点すると Fig.-3 のようになる。

∴ K, 洪水到達時間 t を求めたためと採用した洪水の伝播速度 w としては
 $w = \frac{5}{3} v$ を採用した。

∴ K, 时段平均速度 v がかつて、
・印の下流地点における平均流速を採用した場合の値。
・印は上流地点における平均流速を採用した場合の値。

である。

Fig-3 の実験式は $S = 7.0 Q^{0.8}$ である。

次に、 $S = 7.0 Q^{0.8}$ の式より、Fig-4 に示す $S + \theta/2$ のグラフを作成して、因解法により逐次計算を行なって上流の洪水曲線から下流の洪水曲線を算出しこ。 (Fig-5 参照)

Fig-5 の推算ハイドログラフ (実線) は、Fig-1 に示す ΔK , 洪水到達時間 $t = 20$ 分として、因解法から求めた。

Fig-5 の推算結果をみると、ピーク流量 K ありてはかなりの適合があるが、しかし、減水時にありて、かなりのくじがりが見られた。これは実測の洪水ハイドログラフが前述のよう人工的に起きた洪水であることを水路にはかなりの貯留効果があるため、通常よりも洪水曲線が緩いのである。そこで、この人工洪水のハイドログラフにあたるかハイドログラフを推算するには、Fig-3 の実験式を、水路内の貯留効果を考慮した貯留量を差し引いた新しい実験式を見出しこ、前記の操作を繰り返して推算ハイドログラフを計算すれば、実測ハイドログラフに近づくであろうと思われる。一般的に洪水波跡が河川で河道からのほんらん等、河道内に貯留効果が変化する場合、貯留量がわかれば Fig-3 の実験式を作成する簡単 K との量を考慮して実験式を作り立てることが出来るとと思われる。

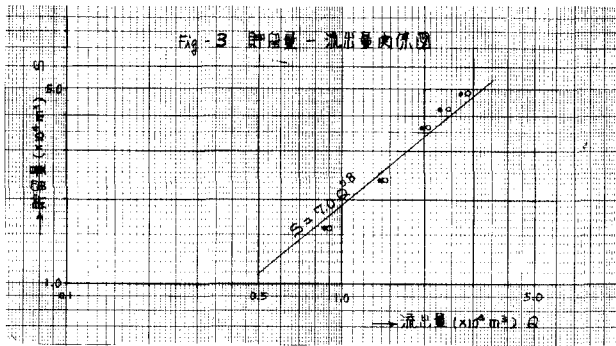


Fig-3 水頭 = 流出量の関係

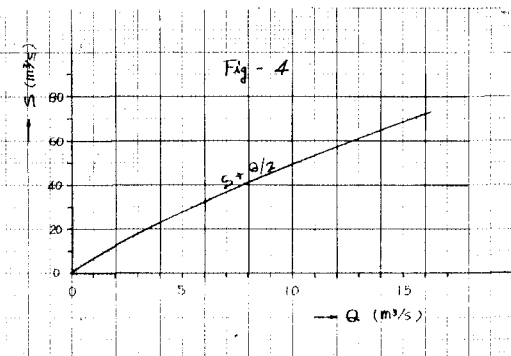


Fig-4

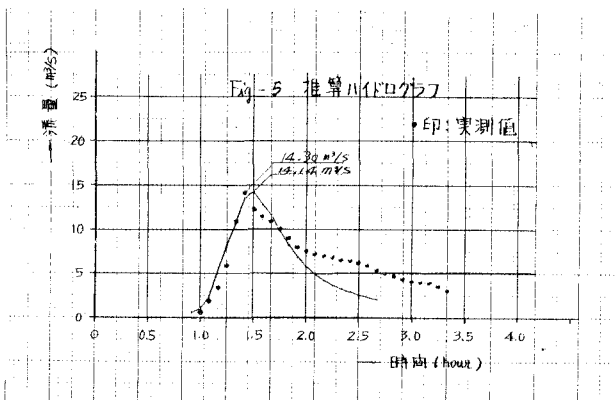


Fig-5 推算ハイドログラフ

印: 実測値